
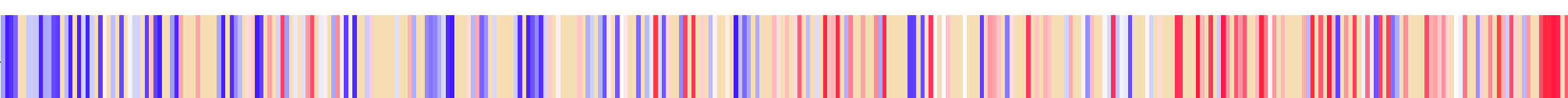
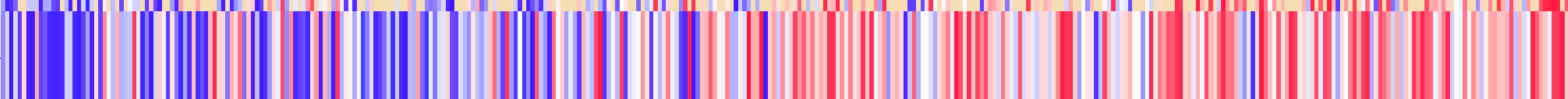
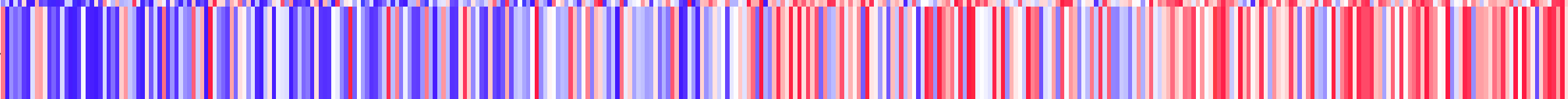
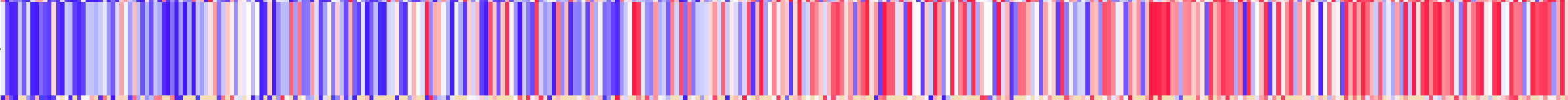
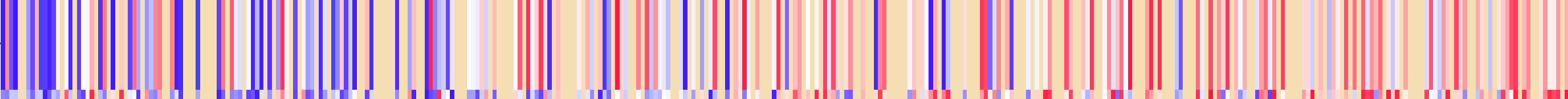
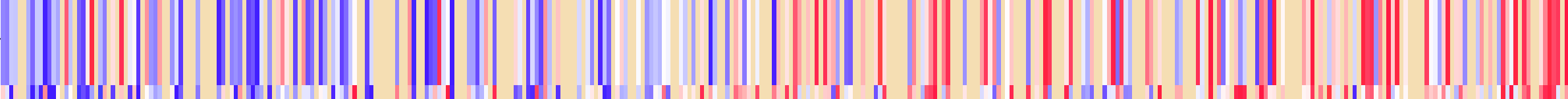
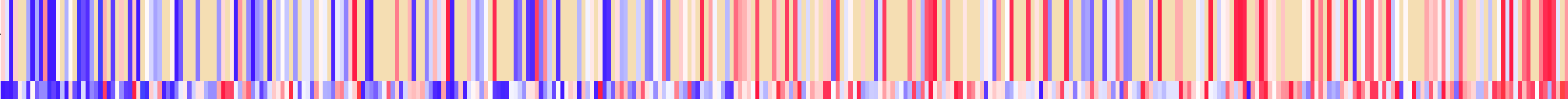
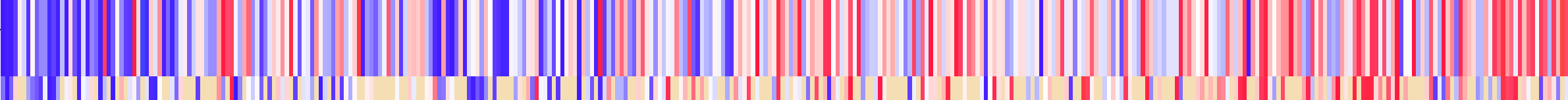
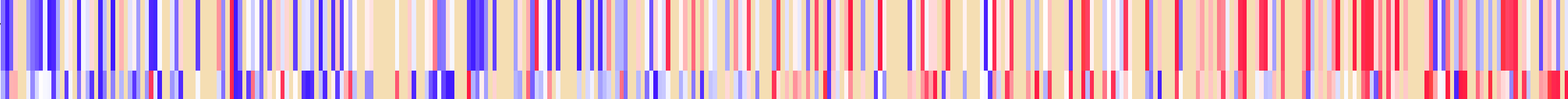
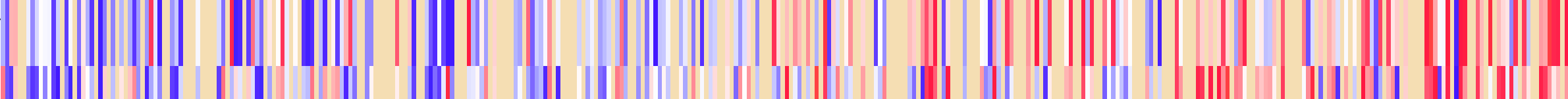
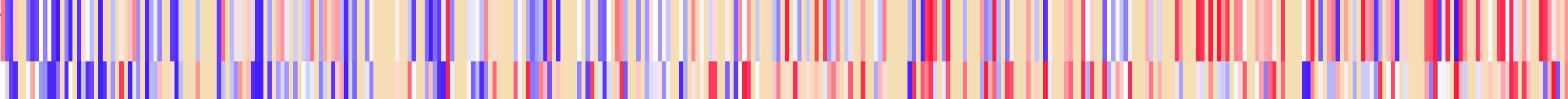
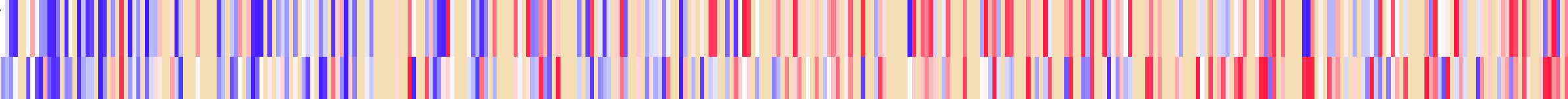
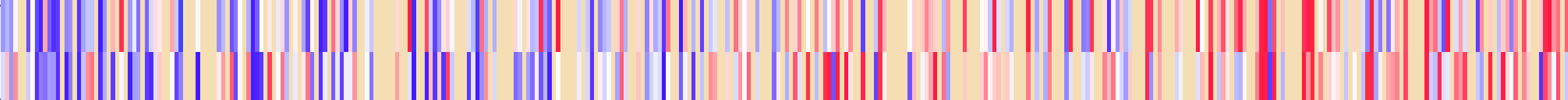
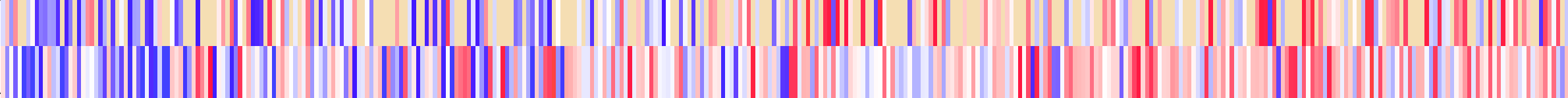
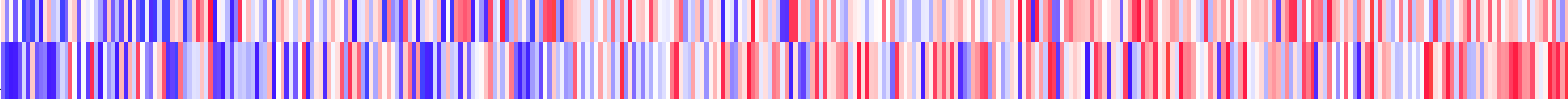
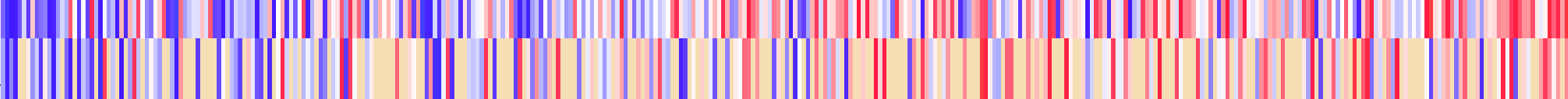
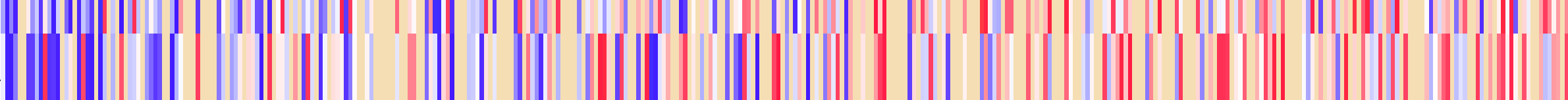
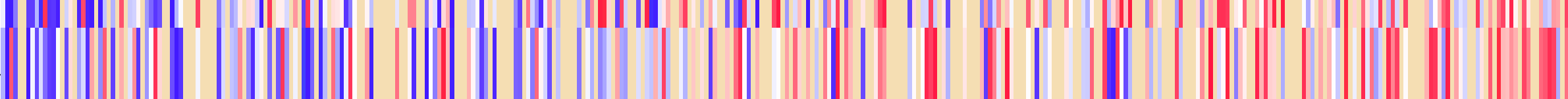
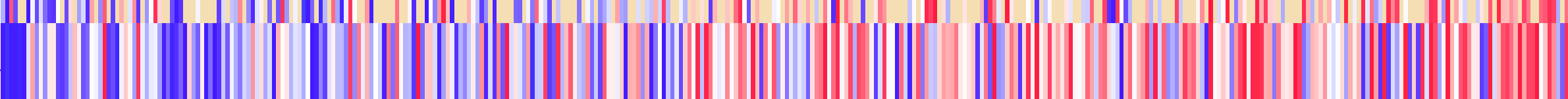
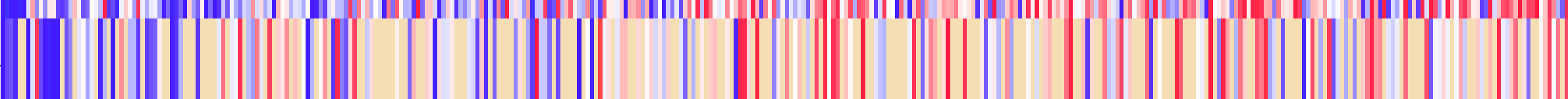
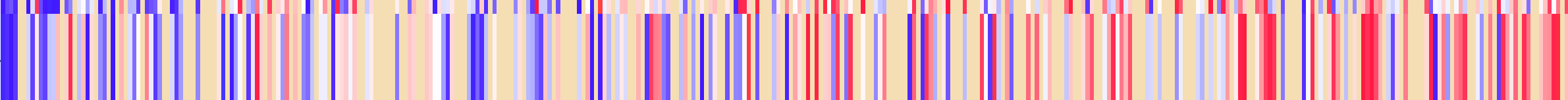
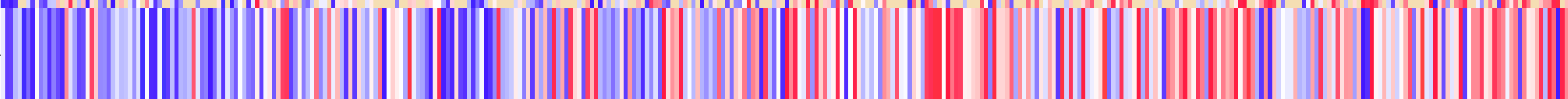
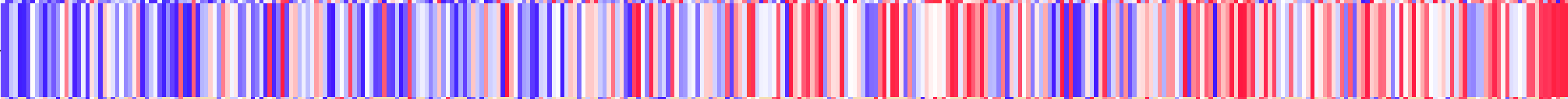
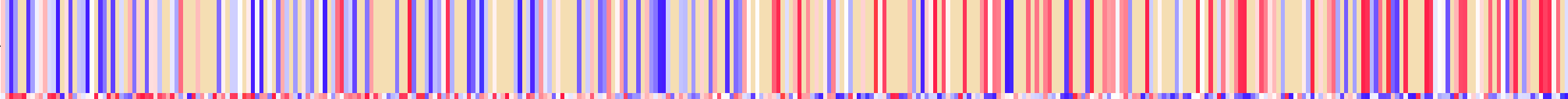
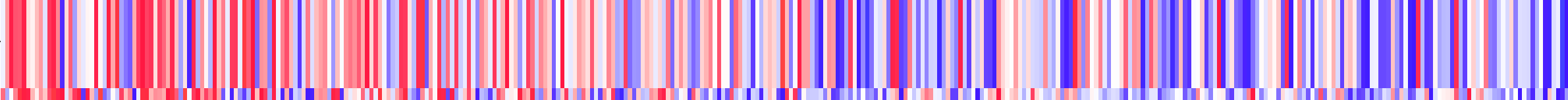
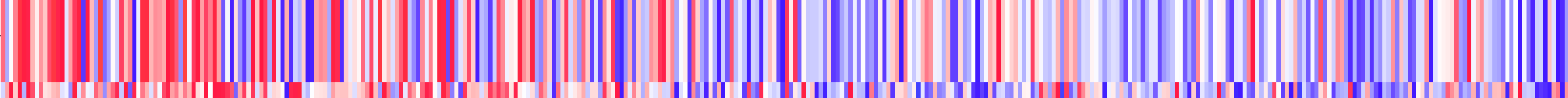
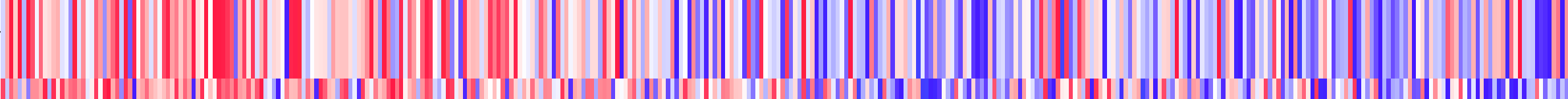
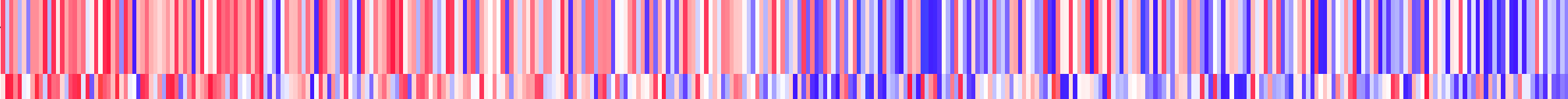
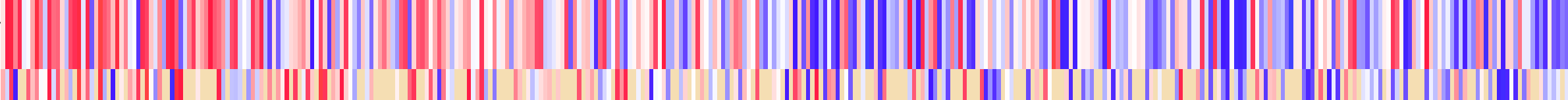
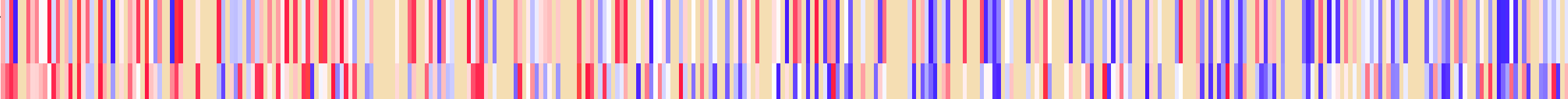
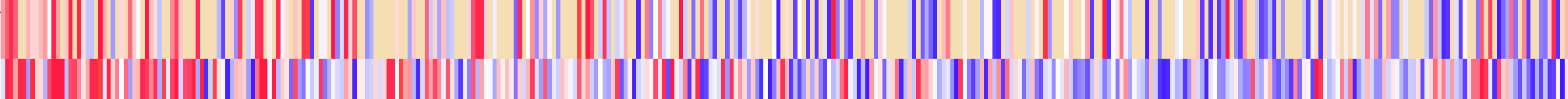
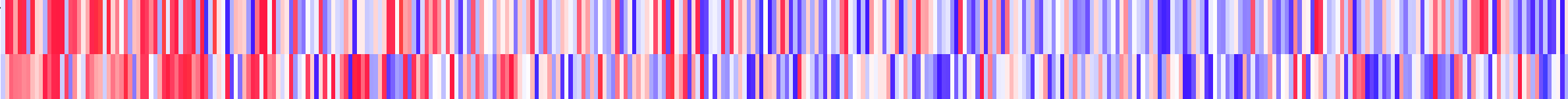
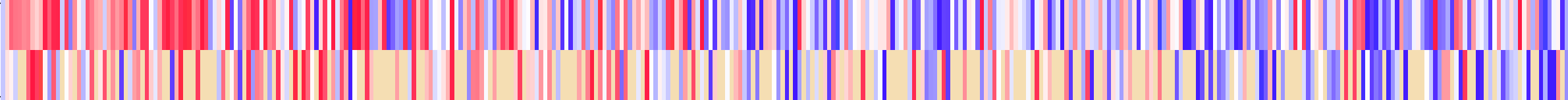
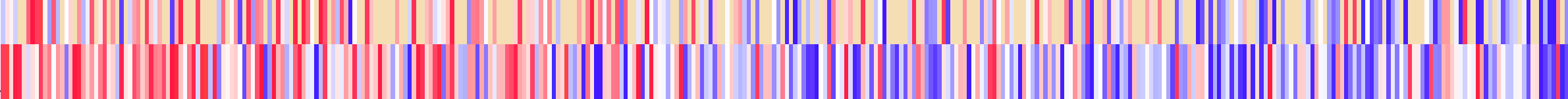
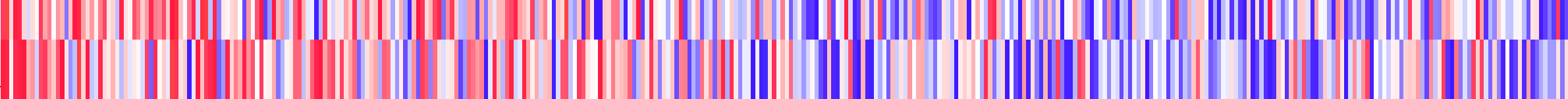
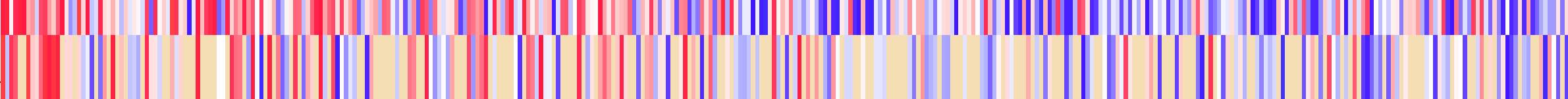
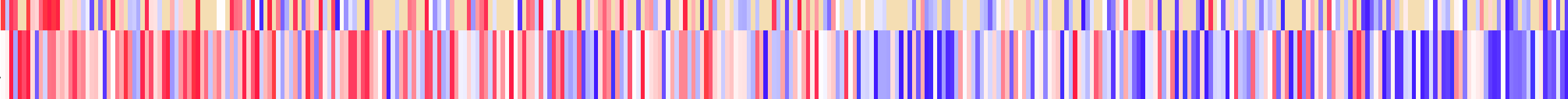
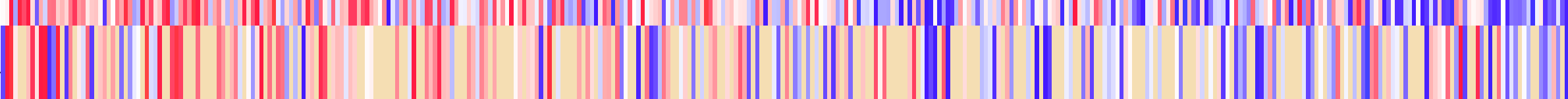
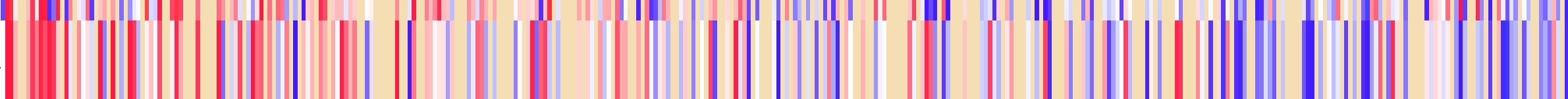
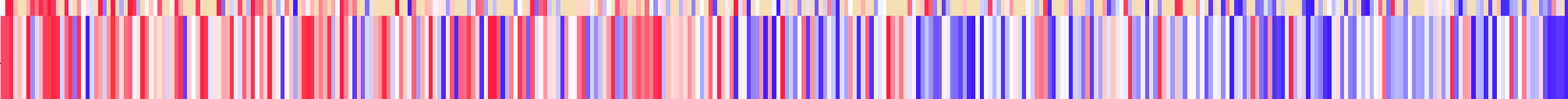
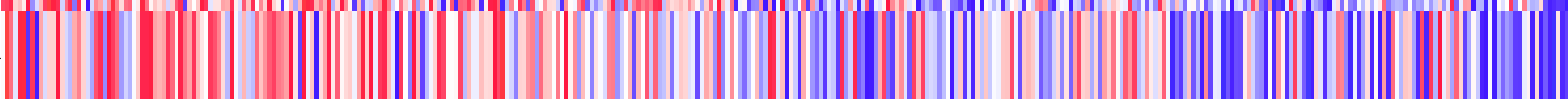
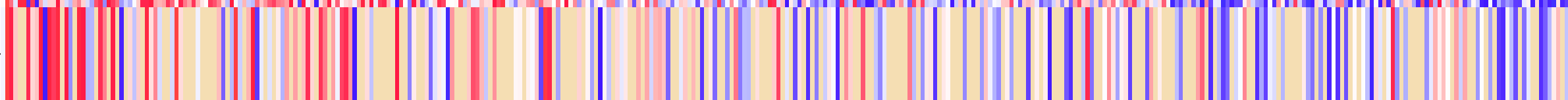
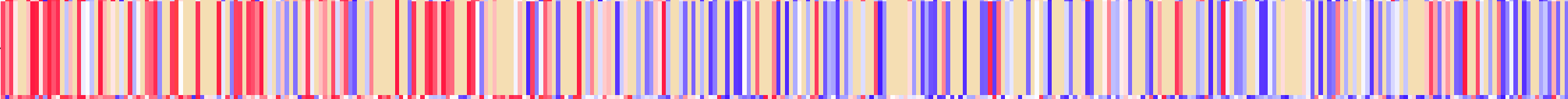
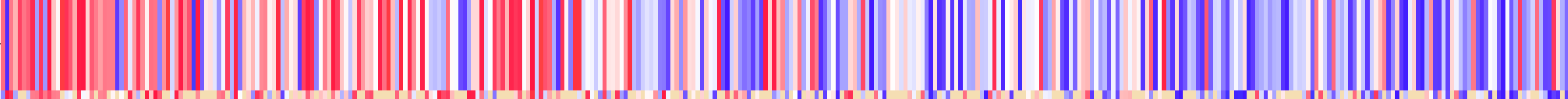
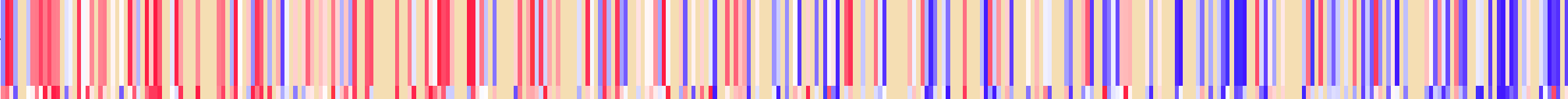
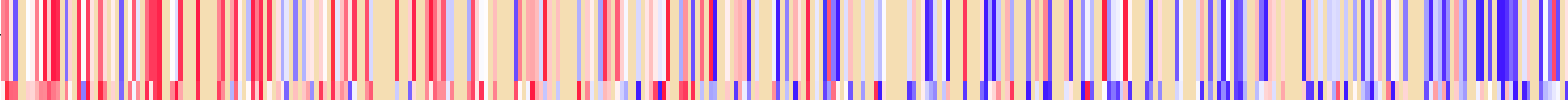
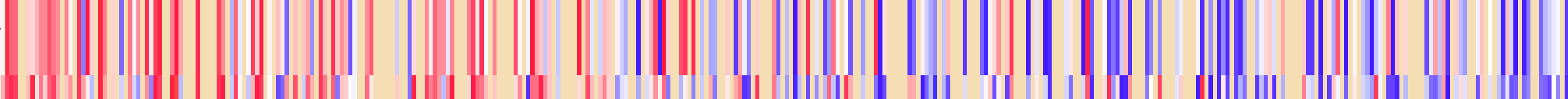



Gene Dependency (Achilles)

C0		IC(Δ)	p-value		FDR
MAF1		-0.556(nan)	nan	nan	
STRN4		-0.551(nan)	nan	nan	
FRAT1		-0.545(nan)	nan	nan	
XRCC6		-0.519(nan)	nan	nan	
TAF1D		-0.516(nan)	nan	nan	
PDCD10		-0.510(nan)	nan	nan	
FUNDC2		-0.509(nan)	nan	nan	
ZNF500		-0.491(nan)	nan	nan	
METTL21B		-0.489(nan)	nan	nan	
SLC35F6		-0.489(nan)	nan	nan	
MRPL36		-0.485(nan)	nan	nan	
PCBD2		-0.474(nan)	nan	nan	
PLEKHA1		-0.473(nan)	nan	nan	
ERICH6B		-0.471(nan)	nan	nan	
FOXA1		-0.471(nan)	nan	nan	
CAB39		-0.469(nan)	nan	nan	
ASZ1		-0.467(nan)	nan	nan	
DCAF7		-0.461(nan)	nan	nan	
CCDC144NL		-0.460(nan)	nan	nan	
ZNF595		-0.459(nan)	nan	nan	
CCDC172		-0.458(nan)	nan	nan	
MEIOB		-0.454(nan)	nan	nan	
ZNF250		-0.447(nan)	nan	nan	
LCN15		-0.445(nan)	nan	nan	
MRPS23		-0.445(nan)	nan	nan	
MAPK13		0.446(nan)	nan	nan	
IQCJ-SCHIP1		0.446(nan)	nan	nan	
ENPP3		0.446(nan)	nan	nan	
TEAD1		0.447(nan)	nan	nan	
STX17		0.447(nan)	nan	nan	
CLVS1		0.448(nan)	nan	nan	
NPHP3		0.448(nan)	nan	nan	
N4BP2		0.452(nan)	nan	nan	
LASP1		0.453(nan)	nan	nan	
CTNNA3		0.455(nan)	nan	nan	
SSX1		0.456(nan)	nan	nan	
SRP9		0.464(nan)	nan	nan	
CMTM6		0.466(nan)	nan	nan	
LPP		0.469(nan)	nan	nan	
FAM63B		0.473(nan)	nan	nan	
GPATCH2L		0.473(nan)	nan	nan	
NFE2L2		0.477(nan)	nan	nan	
BBS7		0.480(nan)	nan	nan	
IFITM2		0.490(nan)	nan	nan	
RPN2		0.499(nan)	nan	nan	
ZNF621		0.500(nan)	nan	nan	
FRMD3		0.512(nan)	nan	nan	
AK9		0.518(nan)	nan	nan	
ANLN		0.549(nan)	nan	nan	
TLN1		0.563(nan)	nan	nan	